

斜面崩壊時の破壊確率の遷移特性について

名古屋大学 正会員 松尾 稔
名古屋大学 学生会員 ○工野 誠

1. はじめに：豪雨時に発生する斜面災害防止のための最も重要なことは、崩壊発生の予知による被害を軽減することである。しかし、斜面崩壊の予知は現状では非常に困難である。これは、斜面自体の有する複雑な性質のみならず、豪雨と崩壊の関連が明確になっていないといふのが難いためである。豪雨時に危険斜面の変形量、間隔と水圧などの時間的変化を計測できれば、崩壊の予知も可能となるが、工学的にはあくまでも現実的ビューポイントはない。そこで、変形量の代わりに破壊確率Pfの遷移過程と過去の崩壊・未崩壊例について調べ、Pfの崩壊予知のパラメータとして利用可能かを検討する。これにて、崩壊時の斜面変形量とPfの間に、何らかの対応関係が存在するに違いないという直観的根拠に基づいてある。鉛直量としては降雨量だけではなくが有利である。

2. 破壊確率算定の方法：Pfの時間的変化が豪雨時の土中水分の変化に依存するため、まず降雨浸透解析法により豪雨と土中水分（飽和度）の応答解析を行なう。ここで扱う斜面のモデルは、不透水性基岩上に表土のついたものに限る。浸透解析モデルは1次元であるため、実際の土中水の流れの差があるかも知れないが、斜面の微小幅の区間では中間流が平衡状態を保つ（流入量=流出量）と仮定し、2次元的に中間流出行き考慮されていい。その故、地下水位の形成は浸透水が基岩上に滞ることによる仮定してある。浸透解析には必要な各

表-1. 斜面の諸性質（*は仮定値）

アフターモデルは表1に示す。表1のデータは現地調査で得たものもあるため、データの不足分は常識的の値を仮定した（表1の*印）。次に、斜面崩壊は土中水分変化による強度の低下、自重の増大によるものと考えてあるため、Cの強度係数C、 α と飽和度Srの関係を把握することが必要となる。そこで、一般的な山土数種（シルト質砂、砂質ローム等）について一面せん断試験を実施し、非常に興味深い結果を得た。すなわち、見かけの粘着力Cはある飽和度Sr*で最大（Cmax）となる。このSr*と間隔E比の間に図-1のように滑移関係が見出された。

$$Sr^* = 128.8 - 100.0 \alpha \quad (\%) \quad \dots(1)$$

また、ある飽和度Sr*の粘着力CとCmaxの比 C^* は $C^* = C/C_{max}$ と $\alpha Sr = Sr - Sr^*$ の間に図-2のように直線的関係が見出された。

$$C^* = 1.0 - 0.0018 \alpha Sr \quad \dots(2)$$

地名	土質	傾斜角表土厚S _r (°)	初期Sr(%)	間隔E(m)	比透水係数C _{max} (10cm/t/m)	φ(°)		
1 吳	ローム	45	2.0	66	0.9	1.0	5.5	23
2 小原	砂質土	45	2.0	*60	*0.3	*5.0	*2.0	*30
3 錐子	砂質土	35	1.2	42	1.0	2.4	*2.0	*25
4 神戸	砂質土	40	3.5	*50	*0.3	5.0	*2.0	*25
5 土岐	粘土	30	2.0	*50	*1.2	*1.0	*7.0	*10
6 横浜	腐殖土	45	1.4	*50	*1.0	*5.0	*5.0	*10
7 横浜	ローム	50	1.4	*50	*1.2	*1.0	*10.0	*10
8 小原川	砂質土	40	1.4	42	1.0	*5.0	*2.0	*30
9 内海	粘性土	33	1.7	*60	*1.0	*1.0	*10.0	*10
10 明智	砂質土	35	2.0	*50	*0.8	*5.0	*2.0	*30
11 田島	ローム	50	2.0	67	1.04	*1.0	*5.0	*20
12 小原	砂質ローム	43	1.5	45	0.9	1.3	*5.0	*25
13 横須賀	砂質土	30	2.5	*50	*0.8	*5.0	*2.0	*25
14 明智	赤土	30	3.0	*50	*1.0	*1.0	*5.0	*10
未								
15 小原	砂質土	37	1.5	41	0.33	1.1	*2.0	*30
16 吳	ローム	30	5.0	66	0.9	*1.0	5.5	23
崩								
17 錐子	砂質土	35	1.2	42	0.9	*1.0	*2.0	*35
18 神戸	砂質土	34	6.0	*50	*0.8	5.0	*2.0	*25
19 横浜	砂質土	34	1.8	41	1.0	*5.0	*2.0	*30
20 小原	砂質ローム	32	1.5	45	0.9	1.3	*5.0	*25

11). (2)式より C_{max} の値が推定されれば、任意の飽和度 S_r 、状態 ϵ 及び C^* の値が予測されるに至る。図1, 2から、 C^* の値は平均値を示す直線(式(1), (2))のまわりにばらついている。このばらつきを考慮してこの値は正規分布で与えられる。せん断抵抗角中と S_r の間にには、特筆すべき相関は見出されなかつたため、 ϵ の値は S_r により変化しない、分布型(変動係数 = 0.2 の正規分布)で与えられる。 C_{max} 中の測定値および仮定値(*印)が表-1に示されている(中は平均値)。表-1にあげられた斜面は既述の内法すべり面法による安定解析を行なつた。解析では土の強度係数 $C_s \cdot \phi$ を正規分布で与えてあるため、計算によて得られるのは安全率 F_s の分布である。従つて、破壊確率 P_f は F_s の分布のうちで $F_s \leq 1$ となる部分の確率として与えられる。このようにして、各斜面に対し安定解析を行なつた。

3. 破壊確率の遷移特性：表-1の崩壊例は、すべて表土滑落型崩壊である。各崩壊例に関する、時間 t と P_f の関係を調べてみると、いずれも P_f が急上昇する時点、もしくはその近傍で崩壊が発生していることが判明した。これは、崩壊と P_f の遷移速度 \dot{P}_f ($= dP_f/dt$) の間に何らかの特徴的関係があることを示唆している。そこで、 \dot{P}_f (%/hr) と t (hr) の関係について数例を図3に示したが、崩壊例における \dot{P}_f は崩壊直前の近傍にて崩壊が発生していくことから分かる。なお、図3において崩壊時の \dot{P}_f を●印で示し、未崩壊例における \dot{P}_f の遷移過程を破線で示した。崩壊直前に、おそらく斜面の変形速度は急上昇していくものと予想されるが、 \dot{P}_f の遷移速度に関しても同様に傾向がみられることが非常に興味深いものである。この結果は、最初の予想通りに P_f と変形速度の間の文脈関係を示唆するものであり、斜面変形量による崩壊予知の代わりに P_f の遷移特性を利用した予知を行なう可能性を示している。未崩壊例における \dot{P}_f の最大値が大きくなっていることより、崩壊と未崩壊を区別する1パラメータとして \dot{P}_f の有効性と見て取られる。崩壊時の \dot{P}_f と P_f の関係(●印)、および未崩壊例における \dot{P}_f ~ P_f 関係(破線)を図4に示すが、 \dot{P}_f の大小にかかわらず $\dot{P}_f \geq 8$ (%/hr) の範囲で崩壊が発生しており、未崩壊例では \dot{P}_f の最大値でも 8 (%/hr) 以下であることが知られる。したがつて、 $\dot{P}_f = 8$ (%/hr) 程度の値が崩壊と未崩壊を区別するものであり、崩壊予知の上で重要な値であるものと思われる。

1) 上野ほか：二相流理論を用いた降雨浸透解析について、土木学会中部支部発表会、1977.

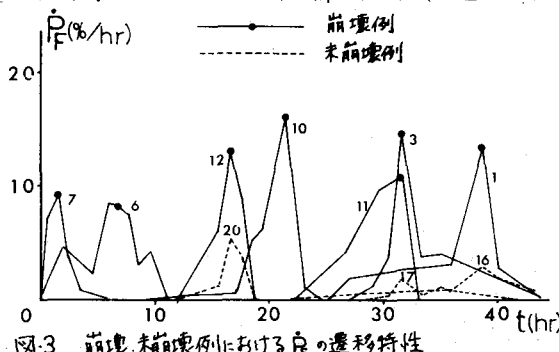


図-3 崩壊・未崩壊例における \dot{P}_f の遷移特性

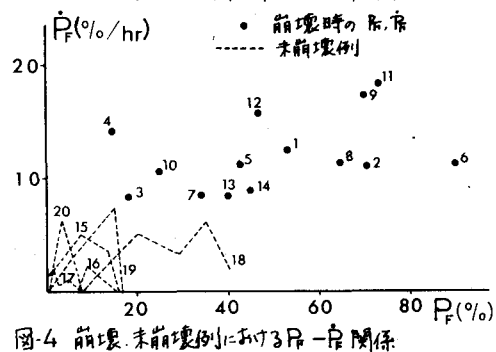


図-4 崩壊・未崩壊例における P_f - \dot{P}_f 関係

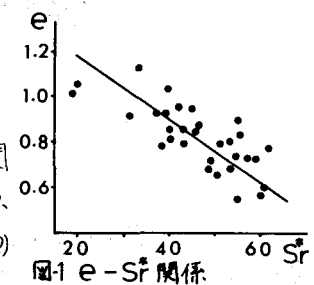


図-1 e - S_r 関係

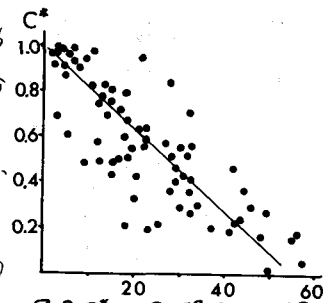


図-2 C^* - S_r 関係